

تعیین توالی DNA با استفاده از نانومنفذ عامل دار گرافین: مطالعه دینامیک مولکولی

دانشجوی کارشناسی ارشد، دانشکده مهندسی مکانیک، دانشگاه صنعتی شیراز، شیراز، ایران،
mohammadi65@gmail.com

استادیار، دانشکده مهندسی مکانیک، دانشگاه صنعتی شیراز، شیراز، ایران،
o.bavi@sutech.ac.ir

دانشیار، دانشکده علوم ریاضی، دانشگاه تربیت مدرس، تهران، ایران،
y.jamali@modares.ac.ir

محمد مهدی محمدی

* امید باوی

یوسف جمالی

چکیده

در این تحقیق امکان تعیین توالی تکرشه DNA حین عبور از نانومنفذ عامل دار صفحات گرافینی با استفاده از شبیه‌سازی دینامیک مولکولی هدایت شده در سرعت ثابت بررسی شده است. جهت عامل دار کردن نانومنفذ، از انواع هیدروکسیل استفاده شده است. حین عبور تک رشته DNA، نیروی مورد نیاز برای حرکت DNA به انواع فسفر ستون فقرات آن اعمال می‌شود و سپس تغییرات نیرو تک رشته شده است. همچنین، بروز تغییرات در زوایه صفحه باز نسبت به صفحه گرافین، که زاویه بتا نامیده می‌شود، حین عبور DNA از نانومنفذ بررسی شده است. نتایج نشان می‌دهد که با استفاده از این ساختار و بررسی پارامترهای مورد تحقیق، مولکولهای سیتوزین، گوانین و تمین با استفاده از این روش قابل تمايز هستند. این امید وجود دارد که با به خدمت گرفتن قابلیت‌های این روش و توجه بیشتر به پتانسیل پروژه کلان ژنوم شناسی انسانی بگشاید.

واژه‌های کلیدی: نانومنفذ، گرافین، توالی یابی DNA، دینامیک مولکولی هدایت شده، تعیین.

DNA Sequencing Using Functionalized Graphene Nanopore: A Molecular Dynamics Study

M. M. Mohammadi

Department of Mechanical and Aerospace Engineering, Shiraz University of Technology Shiraz, Iran

O. Bavi

Department of Mechanical and Aerospace Engineering, Shiraz University of Technology Shiraz, Iran

Y. Jamali

Department of Mathematics, Tarbiat Modares University, Tehran, Iran

Abstract

DNA translocation/sequencing through a solid-state functionalized graphene nanopore with the aid of constant velocity steered molecular dynamics simulation was studied. Hydrogen atoms and hydroxyl molecules have been used to functionalize the nanopore. Phosphorus atom of the DNA backbone has been pulled during translocation and then the pulling force variation was tracked to verify the distinction between bases. Besides, the rotation of the base plane with respect to the graphene plane, called beta angle, was also evaluated during translocation. The results show that cytosine, guanine, and thymine are distinguishable by this method. Employing the capabilities of the current method and considering the unique potentials of two-dimensional solid-state nanostructures, can shed light on the design of a new generation of protein sequencing machines for the Human Genome Project (HGP).

Keywords: DNA Sequencing, 2D Solid-State Nanostructures, Graphene Nanopores, DNA translocation.

می‌آمد توانستند تا ۷۶ نوکلئوتید را تعیین توالی کنند [۲]. زمان صرف شده برای این کار بسیار زیاد بود و این نیاز به شدت احساس می‌شد که بازده هر کدام از مراحل کار افزایش یابد. این اتفاق با تغییراتی در مراحل انجام کار در دهه ۱۹۹۰ به وقوع پیوست. نحوه کار به شکلی بود که بین سال‌های ۲۰۰۷ تا ۲۰۱۲ هزینه تعیین توالی به ازای هر باز، ۴ مرتبه کاهش یافت [۳]. از سال ۲۰۱۲ به بعد سرعت بهبود کار به کندی پیش می‌رود.

۱- مقدمه

اهمیت تعیین توالی^۱ رشته‌های DNA، به حیاتی بودن شناسایی حامل‌های اطلاعات و راثتی یا همان ژن‌ها بر می‌گردد. در واقع ژن‌ها، به صورت یک توالی خاص از نوکلئوتیدهای DNA هستند که یک پروتئین را رمزگذاری می‌کنند؛ با توجه به اهمیت به سزای این تعیین توالی در زیست‌ناوری، داروسازی، درمان و تشخیص پزشکی و مهم‌تر از همه، رفتارشناسی ویروس، همواره توجه بسیاری از محققان به مطالعه روش‌های موجود و توسعه ابزارهای دقیق‌تر و سریع‌تر معطوف شده است.

اولین تعیین توالی پروتئین، مربوط به انسولین، در سال ۱۹۵۰ توسط فرد سنگر انجام شد [۱] برای این تعیین توالی یک تیم پنج نفره طی سه سال با یک گرم ماده خالص که از ۱۴۰ گرم مخمر به دست

1 Sequencing

^۱ نویسنده مکاتبه کننده، آدرس پست الکترونیکی: o.bavi@sutech.ac.ir

تاریخ دریافت: ۰۰/۱۱/۰۹

تاریخ پذیرش: ۱۰/۵/۲۴

به امکان کارکرد در دمایهای بالاتر، امکان کار در دامنه ولتایی بالاتر و سازگاری و پایداری بیشتر در محلول‌ها اشاره کرد. به علاوه می‌توان قط آنها، ادعا زدن نهادهای تجزیه کرد [۱۱].

تعیین توالی با استفاده از نانو منفذها قادر به خواندن ۳۰ هزار باز تا ۲/۳ میلیون باز است [۱۲]. نسل سوم تعیین توالی که از نانومنفذها استفاده می‌کند در بعضی بسترهای نقطه ضعف‌هایی دارد که باید بطرف شوند؛ می‌توان به نیاز به غلظت بالاتر نوکلئیک اسید اشاره کرد [۱۳]. علاوه بر این، مدل‌های محاسباتی مانند یادگیری ماشین^۹ نیز باید برای این تحلیل‌ها مورد استفاده قرار گیرد [۱۴]. یکی از مشکلات استفاده از گرافین به طور خاص، طبیعت آنگریز آن است. مشکل دیگر نوسانات در جهت گیری بازها حین عبور از حفره است [۱۵، ۱۶].

از میان مواد موجود برای ساخت ناتومنفند، غشای گرافینی، یکی از بهترین کاندیداهای می باشد؛ که از دید اتمی نازک است، از فولاد مقاوم تر و در عین حال انعطاف پذیر است، قابلیت کشیده شدن دارد، شفاف است، توسط یون ها غیر قابل نفوذ است و قابلیت رسانایی الکتریکی آن، گرافین را به گزینه بسیار مناسبی تبدیل می کند [۱۷]. از آنجا که تا کنون هیچ یک از مواد مورد استفاده جهت تعیین توالی نتوانسته اند دقیقی در حد شناسایی تک نوکلئوتید فراهم کنند، جستجو برای یافتن مواد جدید ادامه دارد. دو تا از این مواد فسفر و سیلیسین می باشند [۱۸، ۱۹]. هر دو ماده دارای خواصی هستند که آن ها را برای شناسایی در حد تک نوکلئوتید مناسب می سازند [۲۰].

شایان ذکر است که عمدۀ تحقیقات انجام شده جهت تعیین توالی با استفاده از گرافین، مبتنی بر روش جریان یونی بوده که به نحوی اختلاف پتانسیلی در دو طرف گرافین اعمال می‌شود و DNA تحت تاثیر این اختلاف پتانسیل از حفره موجود در گرافین عبور می‌کند. نتیجه تحقیقات اخیر نشان می‌دهد که استفاده از روش جریان یونی با استفاده از گرافین جهت تعیین توالی مناسب نیست^[۱۵]؛ لذا در بررسی پیش رو حرکت DNA جهت عبور از نانومنفذ با استفاده از یک فر مجازی انجام شده است که در عمل این کشش می‌تواند توسط یک انبرک نوری یا مغناطیسی انجام پذیرد. در این تحقیق، علامه بر حرکت تک رشته DNA با استفاده از روشی متفاوت نسبت به عمدۀ تحقیقات رایج، اتم هیدروژن و گروه هیدروکسیل به عنوان گروه عاملی در لبه نانومنفذ قرار داده شده‌اند.

۲- روش شبیه‌سازی

در این تحقیق مولکول DNA تک رشته توسط فری با ثابت $1000 \text{ pN}/\text{\AA}$ با سرعت ثابت 10 \AA/ns در راستای محور z کشیده می‌شود و تکالیه گرافین در صفحه xy قرار داده شده است. ناتومونفند مورد استفاده دارای حفره‌های متقان و دایره‌های است که دلیل این انتخاب، عملکرد بهتر آن برای تعیین توالی است؛ هندسه ناتومونفند و اثرات متقان و عدم متقان، به علاوه اثرات عبور از گرافین چند لایه بر روی تعیین توالی، توسط ستاری‌فرد و همکارانش بررسی شده است [۲۱]. علاوه بر این بررسی دیگر پارامترهایی از قبیل جنس غشاء، سرعت عبور و اثرات قطر حفره، توسط محققین بسیاری مورد بررسی

خطاهای موجود در روش‌های قبلی و پیچیدگی‌هایی که برای بهبود روش‌ها اضافه شده است، به تعیین توالی آنی^۱ و با دقت تکمیلکاری^۲ نیازمند است. تعیین توالی با استفاده از نانو منفذها^۳ یکی از روش‌های جدید برای رسیدن به این هدف می‌باشد. نانو منفذ، منفذی با ابعاد نانو متری است [۴]. فناوری نانومنفذها بستری بسیار مهیج است که آشکاراسازهایی که در مقیاس مولکولی و حتی اتمی کار می‌کنند می‌توانند از آن استفاده کنند [۵]. ایده استفاده از نانو منفذها برای اولین بار در دهه ۱۹۸۰ مطرح شد. در اوایل کار محققین نشان دادند که تکریشه DNA یا RNA را می‌توان از یک حفره یونی در آلفا-همولیزین^۴، که به عنوان یک نانو منفذ بیولوژیکی^۵ شناخته می‌شود، عبور داد و با برقراری یک اختلاف پتانسیل در دو طرف حفره، حین عبور رشته از حفره، عبور یون‌های موجود از طریق حفره کاهش پیدا کرده و باعث کاهش حربایان (یونی) می‌شود که می‌تواند روشی برای شناسایی نوکلئیک اسیدها باشد [۶]. تا قبل از کاربرد نانومنفذها روش‌های تعیین توالی مبتنی بر تکنیک‌های حاصل از شیمی تجزیه بودند.

نانومنفذ اغلب در غشاءهای بیولوژیکی و غشاءهای حالت جامد ایجاد می‌شود [۴]. استفاده از نانومنفذهای زیستی، مانند آلفا-همولیزین، این ایراد را دارند که مقاومت مکانیکی پایینی دارند و به دما، غلظت یون‌های محیط (نمک) و pH حساس می‌باشند [۷]. یکی دیگر از مشکلات این نانومنفذها ضخامت بالای نانوحرفه‌ها می‌باشد. برای حل این مشکل از گرافین (که یک ورق کربنی با ضخامت تک اتمی است) استفاده می‌شود.

استفاده از نانو منفذ‌های حالت جامد^۶ بسیار مورد مطالعه قرار گرفته است [۸]. اگرچه برای تعیین توالی با استفاده از حفره‌ها پیشرفت‌های زیادی حاصل شده ولی همچنان دقت کار در حدی نیست که بتوان یک تک باز را شناسایی کرد. نانومنفذ‌های حالت جامد اساساً به صورت فیلم‌هایی از ترکیبات سیلیکون و اغلب از نیترات سیلیکون نیز ساخته می‌شوند. روشنایی مختلفی نیز برای ساخت نانو منفذ‌ها وجود دارد که می‌توان به ساخت با پاریکله یونی^۷ و سوراخ کردن با پاریکله الکترونی^۸ اشاره کرد [۱۰-۹].

مزیت اصلی استفاده از نانوساختارها در تعیین توالی، قابلیت بسیار بالای آنها برای عبوردهی مولکول‌ها در مقایسه با سایر فناوری‌های موجود است. فناوری‌هایی که از نانومفند استفاده می‌کنند و در بازار موجود می‌باشند نیازمند کار فراوان برای آماده سازی نمونه و الگوریتم‌های پیچیده برای پردازش اطلاعات هستند [۴]. وسایلی که از فناوری نانو استفاده می‌کنند، در مقایسه با سایر فناوری‌ها قابلیت حمل و جابجایی بالاتری دارند و به آسانی می‌توان آنها را از مکانی به مکان دیگر منتقل کرد [۲]. البته محدودیت نانومفندهای حالت جامد در مقایسه با نانو منفذ‌های بیولوژیکی بسیار کمتر است. برای مثال می‌توان

1 Real Time

1 Real Time
2 Single Molecule

2 Single Molecule
3 Nano Pore

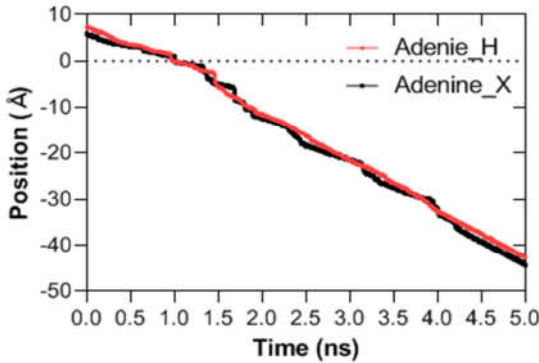
5 Nano Porc 4 A-Hemolysin

5 Biological Nanopore

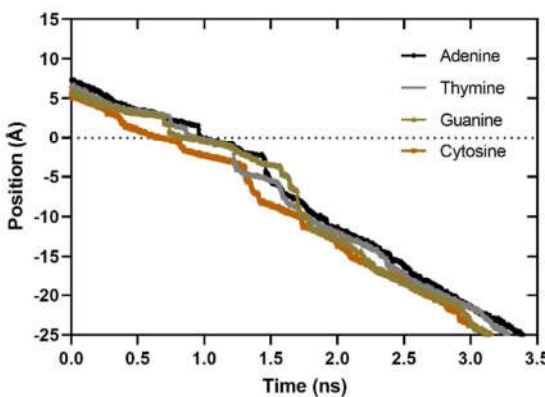
6 Solid State Nanopore

7 Deploying and Sculpting With Ion Beam

8 Fabrication by Electron Beam



شکل ۱- عبور تک رشته آدنین از حفره هیدروژن دار و هیدروکسیل دار. هر پوش نشان دهنده عبور یک نوکلئوتید است. بعضی از بازها به دلیل تعامل ضعیف با حفره راحت‌تر عبور کرده و پرشی در موقعیت اتم SMD مشاهده نمی‌شود.



شکل ۲- موقعیت اتم SMD حین عبور از حفره هیدروژن دار.

از دیگر کیمیت‌های مهمی که برای تعیین توالی می‌توان آن را بررسی کرد، نیروی است که طی فرایند کشش به اتم SMD وارد می‌شود و تحت عنوان نیروی SMD یا نیروی کشش SMD شناخته می‌شود. شکل‌های ۴ و ۵ به ترتیب برای حفره‌های هیدروژن دار و هیدروکسیل دار بر حسب زمان کشش رسم شده است. از آنجا که گرافین و نوکلئوتیدها همگی آبگیری هستند، مولکول DNA از عبور از حفره در قسمت cis به دام می‌افتد. موقعیت cis به موقعیت مولکول‌ها قبل از عبور از حفره گفته می‌شود. با رسیدن بازها به لبه حفره نیروی فنر به طور خطی افزایش پیدا کرده و این افزایش تا جایی ادامه می‌یابد که نوکلئوتید از حفره عبور کند. بعد از عبور هر باز نیرو به شدت افت می‌کند.

از جمله نیروهایی که حین جابجایی تک رشته DNA می‌توان به آنها اشاره کرد نیروهای الکتروستاتیک، واندروالسی و نیروهای ناشی از پیوندهای هیدروژنی است که کلیه پارامترهای مربوط به این تعاملات در فایل میدان نیرو^۲ لحاظ شده است.

قرار گرفته است [۱۱]. جهت تعیین توالی، موقعیت بازها حین فرایند کشش و نیروی وارد شده به مولکول، به علاوه جهت‌گیری باز حین عبور از حفره برای بررسی امکان تعیین توالی برای هر کدام از بازها با هم مقایسه شده است.

مدل مورد نیاز برای شبیه‌سازی توسط نرم‌افزار^۱ VMD آماده شده است. شبیه‌سازی‌ها با استفاده از نرم‌افزار NAMD انجام شده‌اند. ابعاد جعبه شبیه‌سازی $114 \times 38 \times 38$ آنگستروم مکعب در نظر گرفته شده است. انتخاب ابعاد به نحوی است که با کمترین تعداد اتم‌ها بتوان شبیه‌سازی را انجام داد، در عین حال که مزه‌های سیستم وجود لایه گرافین با توجه به شرایط مرزی متناوب اثری بر روی نتایج نداشته باشد.

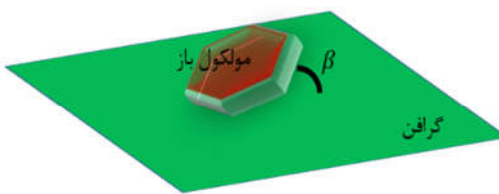
برای شبیه‌سازی، ابتدا انرژی سیستم در ۳۰۰۰ گام کمینه شده و سپس تحت هنگرد NVT در دمای ۳۰۰ کلوین و زمان ۴۰۰ پیکو ثانیه به تعادل رسانده شده و بعد از آن تحت هنگرد NPT و تحت فشار ۱ اتمسفر و زمان ۲۰ نانو ثانیه تعادل رسانی ادامه داده شده است. هر تک رشته DNA شش نوکلئوتید دارد که جهت یکسان بودن شرایط شبیه‌سازی محورهای اصلی آن توسط نرم‌افزار در راستای محورهای x و z قرار داده شده‌اند.

۳- نتایج و بحث

پروفایل مؤلفه z اتم SMD بر حسب زمان جهت بررسی سبک حرکت تک رشته DNA طی فرایند کشش ارائه شده است. همانطور که قبل ذکر شد سرعت کشش 10 \AA/ns در نظر گرفته است. این کمیت در شکل ۱ برای آدنین حین عبور از حفره هیدروژن دار نشان داده شده است، سبک حرکت تقریباً مشابه پلکانی است. در شکل‌های ۲ و ۳ موقعیت اتم SMD برای عبور DNA از حفره‌های هیدروژن دار و هیدروکسیل دار رسم شده است. نمودار عبور باز از حفره هیدروژن دار در مقایسه با حفره هیدروکسیل دار یکنواخت‌تر است؛ چرا که سطح مقطع حفره هیدروژن دار نسبتاً بزرگ‌تر است و مولکول باز راحت‌تر می‌تواند عبور کند. در واقع به دلیل تنگتر شدن حفره با وجود عامل هیدروکسیل، در مقایسه با عامل هیدروژن، توقف باز قبل از عبور از حفره بیشتر است و نیروی بیشتری لازم است تا باز بتواند از حفره عبور کند. با افزایش نیرو و توقف طولانی‌تر شاهد پرش‌های بلندتر در نموداری هستیم که از حفره هیدروکسیل دار به دست آمده است. نکته حائز اهمیت دیگر این است که اندازه هر باز روی نحوه عبور و زمان عبور تاثیرگذار باشد؛ بدین صورت که هرچه اندازه باز بزرگ‌تر باشد، عبور طولانی‌تری داشته باشد و پوش بلندتری در نمودار موقعیت آن مشاهده شود، ولی چنین روندی در نمودار شکل ۳ مشاهده نمی‌شود که خود نشان می‌دهد عواملی دیگر غیر از تعاملات الکتروستاتیکی و پیوندهای هیدروژنی در رفتار بازها حین عبور تاثیرگذار است؛ مانند اثرات آب گریزی، که به نوبه خود نیازمند بررسی‌های دقیق‌تری در این زمینه است.

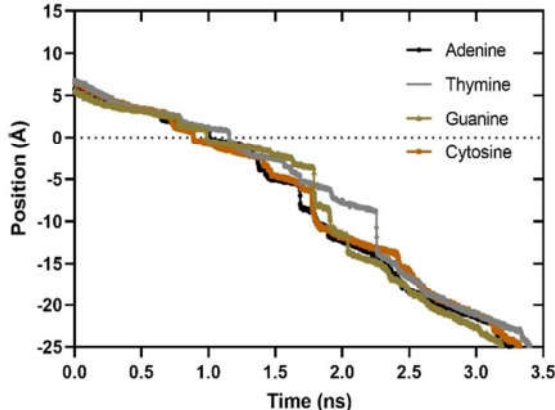
هیدروکسیل دار متفاوت است؛ بدین معنی که در حفره هیدروژن دار حداکثر نیروی اعمالی متعلق به گوانین است، در حالی که در حفره هیدروکسیل دار حداکثر نیرو متعلق به تیمین می باشد. علاوه بر این، بیشترین اختلاف بین بیشینه نیروها در حفره هیدروژن دار بین گوانین و سیتوزین و در حفره هیدروکسیل دار بین تیمین و آدنین است. ظاهرآ می توان از این دو عامل برای تمایز بین بازها استفاده کرد؛ بدین شکل که حفره هیدروژن دار گوانین را متمایز می کند و حفره هیدروکسیل دار تیمین را از سایرین متمایز می کند. البته باید طی تحقیقات آتی این نکته بررسی شود که گوانین با داشتن صفحه پهن تر، به چه دلیل در هر دو حفره هیدروژن دار و هیدروکسیل دار بیشترین نیروی SMD را به خود اختصاص نمی دهد.

علاوه بر نیروی SMD، جهتگیری بازها حین عبور از حفره نیز می تواند رصد شود و این بررسی صورت گیرد که آیا جهتگیری بازها می تواند مشخصه تمایزی بین نوکلئوتیدهای مختلف باشد یا نه. جهتگیری باز بدین صورت تعریف می شود که زاویه بین صفحه باز و گرافین، که در اینجا صفحه xy می باشد، محاسبه می شود. تعریف زاویه بتا که جهتگیری بازها نسبت به صفحه گرافین را به دست می دهد در شکل ۶ مشخص شده است.

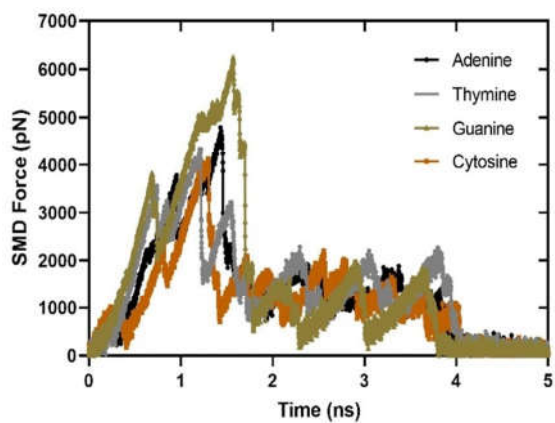


شکل ۶- انحراف صفحه مولکول باز نسبت به صفحه گرافین به عنوان زاویه بتا لحاظ می شود.

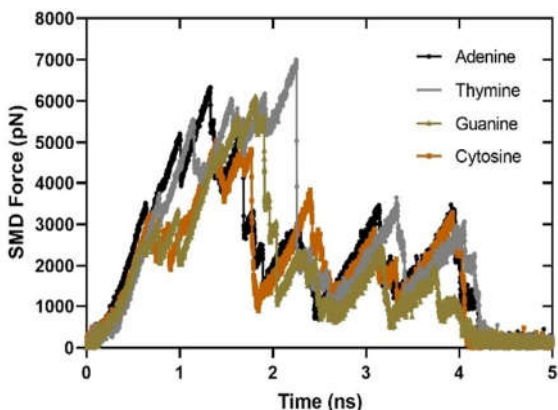
توزیع احتمال زاویه بتا برای حفره های هیدروژن دار و هیدروکسیل دار به ترتیب در شکل های ۷ و ۸ نشان داده شده است. مقادیر این نمودار برای میانگین سه بار تکرار و خطای SEM^۱ رسم شده است. برای حفره هیدروژن دار، تیمین دارای بیشترین توزیع احتمال است (جدول ۱). برای حفره هیدروکسیل دار مقدار بیشینه توزیع بتا متعلق به سیتوزین است. همانگونه که در بحث مربوط به موقعیت اتم SMD و نیروی SMD اشاره شد، انتظار می رود که گوانین که پهن ترین باز موجود است دارای بیشتری زاویه انحراف هنگام عبور باشد، چرا که برای عبور از حفره لازم است صفحه خود را در مقایسه با سایر بازها بیشتر بچرخاند ولی در عمل چنین اتفاقی نمی افتد که نیازند بررسی عمیق تر در تحقیقات آتی است.



شکل ۳- موقعیت اتم SMD هر چهار رشته حین عبور از حفره هیدروکسیل دار.



شکل ۴- نیروی SMD برای گرافین هیدروژن دار.



شکل ۵- نیروی SMD برای گرافین هیدروکسیل دار.

با توجه به نمودارهای نیروی کشش، جهت عبور نوکلئوتیدها از حفره هیدروکسیل دار نیروی بیشتری لازم است، که این مطلب می تواند با سطح مقطع کمتر حفره در ارتباط باشد و با نکته ای که درباره اتم SMD در پاراگرافهای قبل بیان شد همخوانی دارد. نیروی SMD برای بازها حین عبور از حفره هیدروژن دار و

¹ Standard Error of the Mean

جدول ۱- مقادیر مرتبط با توزیع احتمال زاویه بتا برای بازها و دو حفره عامل دار

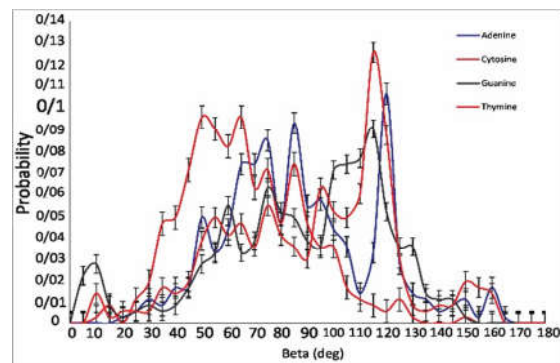
نوع باز	بیشینه احتمال حفره هیدروژن دار (درصد)	زاویه: حفره هیدروژن دار	بیشینه احتمال حفره هیدروکسیل دار (درصد)	زاویه: حفره هیدروکسیل دار
آدنین	۱۰/۶	۱۲۰	۱۰/۶	۶۰
سیتوزین	۹/۶	۷۰ و ۵۰	۱۴/۵	۸۰
گوانین	۹/۰	۱۱۰	۹/۶	۱۰۰ تا ۱۲۰ و ۱۶۰
تیمین	۱۲/۶	۱۱۰	۱۳/۱	۷۵

باقي مانده است.

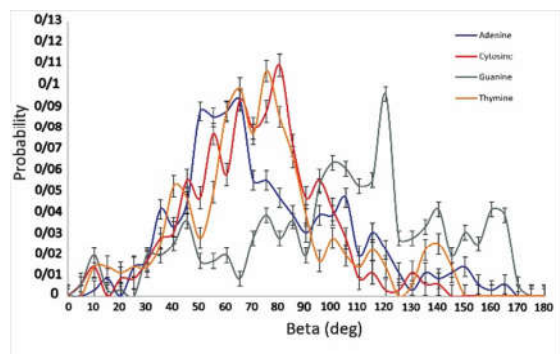
یقیناً برای یافتن تمایز بین بازهای DNA نیازمند افزایش دقت محاسبات خواهیم بود که خود نیازمند افزایش هزینه‌های محاسباتی است. استفاده از روش‌های مبتنی بر مکانیک کوانتومی اگرچه هزینه‌بر است، ولی می‌تواند راهنمایی این مسئله باشد و استفاده از روش‌های رایج را تعیین تکلیف کند که آیا این روش‌ها می‌توانند برای رسیدن به تمایز آشکار امیدوار باشند یا نه. البته استفاده از موادی غیر از گرافین نیز در حال بررسی است و امیدواری‌هایی هم وجود دارد، ولی همچنان راه حل قطعی کار نیستند.

۵- مراجع

- [1] Sanger F. Sequences, sequences, and sequences. Annual review of biochemistry; Vol. 57, No. 1, pp. 1-29, 1988.
- [2] Shendure J, Balasubramanian S, Church GM, Gilbert W, Rogers J, Schloss JA, et al. DNA sequencing at 40: past, present and future. Nature; Vol. 55 ,No. 7676, pp. 345-353, 2017.
- [3] Wetterstrand KA. DNA sequencing costs: data from the NHGRI Genome Sequencing Program (GSP). 2013.
- [4] Hasnain MJU, Afzal B, Anwar T, Pervez MT, Hussain T. A review on nanopore sequencing technology, its applications and challenges. Pure and Applied Biology (PAB); Vol. 9, No. 1, pp. 154-161, 2020.
- [5] Garalde DR, Snell EA, Jachimowicz D, Sipo B, Lloyd JH, Bruce M, et al. Highly parallel direct RNA sequencing on an array of nanopores. Nature methods; Vol. 15, No. 3, pp. 201-206, 2018.
- [6] Kasianowicz JJ, Brandin E, Branton D, Deamer DW. Characterization of individual polynucleotide molecules using a membrane channel. Proceedings of the National Academy of Sciences; Vol. 93, No. 24, pp. 13770-13773, 1996.
- [7] Yu Y-s, Lu X, Ding H-m, Ma Y-q. Computational investigation on DNA sequencing using functionalized graphene nanopores. Physical Chemistry Chemical Physics; Vol. 20, No. 14, pp. 9063-9069, 2018.
- [8] Wells DB, Belkin M, Comer J, Aksimentiev A. Assessing graphene nanopores for sequencing DNA. Nano letters; Vol. 12, No. 8, pp. 4117-4123, 2012.
- [9] Bayley H. Piercing insights. Nature; Vol. 459, No. 7247, pp. 651-652, 2009.
- [10] Mohammadi MM, Bavi O. DNA sequencing: an overview of solid-state and biological nanopore-based methods. Biophysical Reviews; Vol. 14, No. 1, pp. 99-110, 2022.
- [11] Yuan Z, Liu Y, Dai M, Yi X, Wang C. Controlling DNA translocation through solid-state nanopores. Nanoscale research letters; Vol. 15, No. 1, pp. 1-9, 2020.
- [12] Amarasinghe SL, Su S, Dong X, Zappia L, Ritchie ME, Gouil Q. Opportunities and challenges in long-read sequencing data analysis. Genome biology; Vol. 21, No. 1, pp. 1-16, 2020.
- [13] Feng Z, Clemente JC, Wong B, Schadt EE. Detecting and phasing minor single-nucleotide variants from long-read



شکل ۷- توزیع احتمال زاویه بتا برای چهار باز حین عبور از حفره هیدروژن دار. مقادیر نمودار برای میانگین سه بار تکرار و خطای SEM رسم شده است.



شکل ۸- توزیع احتمال زاویه بتا برای چهار باز حین عبور از حفره هیدروکسیل دار. مقادیر نمودار برای میانگین سه بار تکرار و خطای SEM رسم شده است.

۴- نتیجه‌گیری

در این پژوهش به مطالعه تعیین توالی DNA با استفاده از نانومنذ عامل دار گرافین پرداخته شده است. برای این منظور شبیه‌سازی دینامیک مولکولی هدایت شده با سرعت ثابت مورد قرار گرفته است. پارامترهایی از قبیل نیروی کشش و توزیع انحراف بازها حین عبور از حفره جهت تمایز بین آن‌ها مورد مطالعه قرار گرفته است. بررسی نیروی کشش در حفره هیدروژن دار باعث تمایز گوانین می‌شود و بررسی همین پارامتر در حفره هیدروکسیل دار باعث تمایز شدن تیمین می‌گردد. به علاوه با بررسی توزیع زاویه انحراف بازها حین عبور از حفره هیدروژن دار، تیمین و در حفره هیدروکسیل دار سیتوزین قابل شناسایی می‌باشند. لازم به ذکر است که آدنین همچنان بدون تمایز

- sequencing data. *Nature communications*; Vol. 12, No. 1, pp. 1-13, 2021.
- [14] Bobrovskikh AV, Doroshkov A, Mazzoleni S, Carteni F, Giannino F, Zubairova U. A sight on single-cell transcriptomics in plants through the prism of cell-based computational modeling approaches: benefits and challenges for data analysis. *Frontiers in Genetics*; Vol. 12, No., pp. 771, 2021.
- [15] Henry MB, Tumbapo M, Tayo BO. Identification of DNA bases using nanopores created in finite-size nanoribbons from graphene, phosphorene, and silicene. *AIP Advances*; Vol. 11, No. 3, pp. 35-47, 2021.
- [16] Graf M, Lihter M, Altus D, Marion S, Radenovic A. Transverse detection of DNA using a MoS₂ nanopore. *Nano letters*; Vol. 19, No. 12, pp. 9075-9083, 2019.
- [17] Heerema SJ, Dekker C. Graphene nanodevices for DNA sequencing. *Nature nanotechnology*; Vol. 1 ,No. 2, pp. 127-136, 2016.
- [18] Jose D, Datta A. Structures and chemical properties of silicene: unlike graphene. *Accounts of chemical research*; Vol. 47, No. 2, pp. 593-602, 2014.
- [19] Zereshki P, Wei Y, Ceballos F, Bellus MZ, Lane SD, Pan S, et al. Photocarrier dynamics in monolayer phosphorene and bulk black phosphorus. *Nanoscale*; Vol. 10, No. 24, pp. 11307-11313, 2018.
- [20] Chen Y, Ren R, Pu H, Chang J, Mao S, Chen J. Field-effect transistor biosensors with two-dimensional black phosphorus nanosheets. *Biosensors and Bioelectronics*; Vol. 89, No., pp. 505-510, 2017.
- [21] Satarifard V, Foroutan M, Ejtehadi MR. How effective is graphene nanopore geometry on DNA sequencing? *arXiv preprint arXiv:150102169*; Vol., No., pp., 2015.